

บทที่ 3

ผลการวิจัยและวิจารณ์

สัณฐานวิทยาของเมมเบรน (Membrane morphology)

รูปที่ 4 แสดงภาพตัดขวางของสัณฐานวิทยาด้วย SEM ของเมมเบรนที่เตรียมได้ด้วยวิธีการผกผันวัฏภาค พบร่วมกับผลลัพธ์ในเมมเบรนที่เตรียมได้ทั้งหมดมีโครงสร้างแบบอสมมาตร ประกอบด้วยชั้นบนทึบ (dense top-layer) และชั้นย่อยที่มีความพรุน (porous sub-layer) เป็นร่องยาวรูปร่างคล้ายนิ้ว (finger-like) และซ่องว่างขนาดใหญ่ปะปนอยู่ (enclosed macropores) ซึ่งมีลักษณะเหมือนกับเมมเบรนที่เตรียมจาก PSF เมื่อใช้ NMP เป็นตัวทำละลาย (Solvent) และน้ำเป็นตัวทำละลายที่ไม่ละลาย (non-solvent) โดยน้ำและ NMP ต้องรวมเป็นเนื้อเดียวกันคือละลายซึ่งกันและกัน แต่ NMP จะละลาย PSF แต่น้ำไม่ละลาย PSF (Reuvers *et al.*, 1987; Mulder, 1996; Kim *et al.*, 2005) การเติมสารเติมแต่งมีผลต่อสัณฐานวิทยาของเมมเบรนที่เตรียมได้อย่างมีนัยสำคัญ เนื่องจากความพรุนที่เกิดขึ้นในเมมเบรนจะเกิดระหว่างการผกผันวัฏภาคตรงบริเวณมีที่เป็น NMP และ PEG หรือ PDXL โดยน้ำจะไหลเข้าชະ (Inflow) NMP และ PEG หรือ PDXL ในขณะเดียวกัน NMP และ PEG หรือ PDXL จะไหลออก (Outflow) (Kesting, 1985; Munari *et al.*, 1988) สัณฐานวิทยาของเมมเบรนที่เตรียมได้จากการเข้มข้นและน้ำหนักโมเลกุลของสารเติมแต่งที่แตกต่างกัน จึงให้เห็นว่า ขนาดของรูพรุนและความพรุนของชั้นบนเมมเบรนเพิ่มขึ้นเมื่อความเข้มข้นและน้ำหนักโมเลกุลของ PEG หรือ PDXL เพิ่มขึ้น เพราะว่าความสามารถชະ PEG หรือ PDXL ออกจากเมมเบรนของ PSF/NMP/PEG หรือ PSF/NMP/PDXL ด้วยน้ำ เป็นสัดส่วนผกผันกับความเข้มข้น และน้ำหนักโมเลกุลของ PEG และ PDXL สารละลายของ PSF มีความสามารถ吸附เรืองอุณหพลศาสตร์น้อยลงเมื่อความเข้มข้นและน้ำหนักโมเลกุลของ PEG หรือ PDXL เพิ่มขึ้น ความสามารถ吸附เรืองอุณหพลศาสตร์ที่ลดลงสามารถทำให้อัตราการแข็งตัวเร็วขึ้น (คือเพิ่มสัดส่วนของการไหลเข้าของน้ำต่อการไหลออกของ NMP และ PEG หรือ PDXL) นั่นคือ ทำให้เมมเบรนที่เตรียมได้มีความพรุนมากขึ้น (Young and Chen, 1995; Kim and Lee, 1998; Zheng *et al.*, 2006a,b) นอกจากนั้น ยังพบว่า ความทึบของชั้นบนของเมมเบรนและโครงสร้างของชั้นย่อยยังขึ้นอยู่กับการละลายและการแพรวของ PEG และ PDXL เนื่องจากความทึบของชั้นบนเมมเบรนมีความสำคัญต่อการคัดแยกของเมมเบรน เพราะฟลักซ์ซึ่งผ่าน ลดลงเมื่อความทึบของชั้นบนเมมเบรนเพิ่มขึ้น (Jung *et al.*, 2004) ความทึบของชั้นบนเมมเบรนจะเพิ่มขึ้นเมื่อความเข้มข้นและน้ำหนักโมเลกุลของสารเติมแต่ง PEG หรือ PDXL เพิ่มขึ้น เพราะการแพรวของ PEG ที่มีน้ำหนักโมเลกุลเพิ่มสูงขึ้นจะลดลงอันมีผลจากความหนืดเพิ่มสูงขึ้นเมื่อเทียบกับ NMP โมเลกุลของ PSF ใช้เวลามากขึ้นในการขึ้นมาอยู่ที่ผิว ทำให้โมเลกุล PSF มีเวลาที่จะรวมมวลและจัดตัวใหม่ จึงมีชั้นบนของเมม

เบรนมีความทึบแสงหนาขึ้น (Kim and Lee, 1998; Jung et al., 2004; Chakrabarty et al., 2008c) แต่กลับพบว่า ความหนาของชั้นบันเมมเบรนที่ใช้ PDXL เป็นสารเติมแต่งไม่เข้มข้นอยู่กับความเข้มข้นและหนาแน่นกไม่เล็กลงของ PDXL เนื่องจากความสามารถของการแพร่ของ PDXL ที่มีโมเลกุล 10,000 Da และ 200,000 Da ไม่ได้แตกต่างกัน เพราะ PDXL ละลายน้ำได้ที่อุณหภูมิ 70°C จึงใช้อุณหภูมิของถังน้ำที่ใช้ซับ PDXL อยู่ที่ 60°C ทำให้ PSF มีเวลาอยู่ลงในการรวมมวล จึงทำให้ชั้นบันของเมมเบรนที่เกิดจากการใช้ PDXL เป็นสารเติมแต่งมีลักษณะบางกว่า (รูปที่ 5 และรูปที่ 6) สุดท้ายยังพบว่าทั้ง PEG และ PDXL สามารถลดความพุ่นตัวที่คล้ายนิ่วเมื่อในชั้นย่อยได้ เพราะสารเติมแต่งที่มีหนานักไม่เล็กต่ำกว่าจะออกไปพร้อมกับ NMP ได้ง่ายและรวดเร็ว และความพุ่นในชั้นบันของเมมเบรนมีความสัมพันธ์กับการเกิดช่องว่างขนาดใหญ่ในชั้นย่อยด้วย ถ้าชั้นบันของเมมเบรนมีความพุ่นมาก อย่างเช่นในกรณีของ PSF/NMP/PDXL 200,000 การเกิดช่องว่างขนาดใหญ่ในชั้นย่อยจะลดน้อยลงมาก เพราะว่าถ้าความพุ่นในชั้นบันของเมมเบรนยิ่งมากเท่าไร ก็ต้องการระยะห่างจากผิวนไปยังจุดเริ่มการสร้างช่องว่างขนาดใหญ่มากขึ้น ทั้งนี้เพื่อจำกัดการไหลเข้าของ non-solvent เนื่องจากยิ่งมีการไหลเข้าของ non-solvent มากขึ้นจะเห็นว่าการสร้างจุดเริ่มการเกิดความพุ่นมากขึ้น นั่นคือไม่สามารถทำให้เป็นช่องว่างขนาดใหญ่ได้ ดังนั้น เมมเบรนจะเป็นลักษณะคล้ายฟองน้ำที่มีความพุ่นแต่ไม่มีช่องว่างขนาดใหญ่ ซึ่งเป็นส่วนสำคัญที่ทำให้เมมเบรนมีความแข็งแรง เนื่องจากชั้นบันของเมมเบรนมีความพุ่นมากไปกละเป็นชั้นที่ไปต้านทานการเกิดช่องว่างในชั้นย่อย (Kim and Lee, 1998)

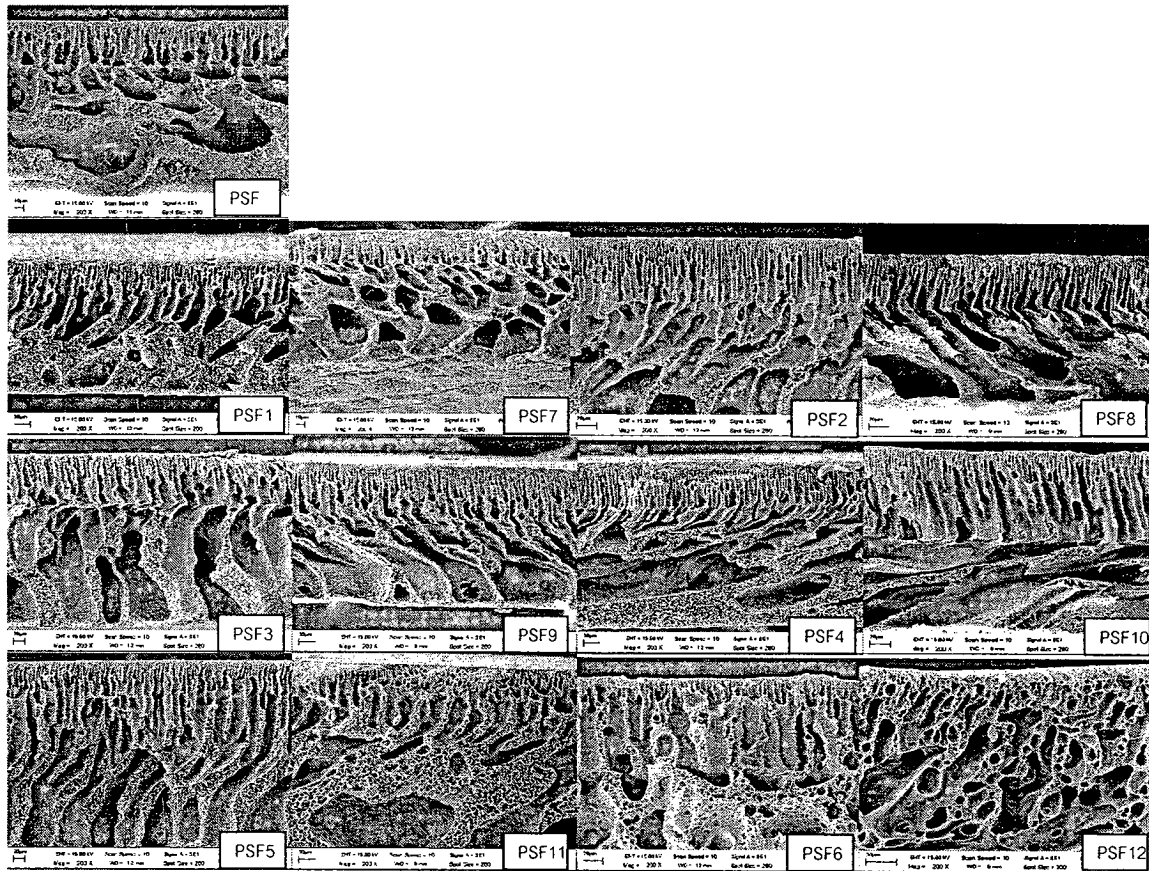
Permeate flux (PF, ฟลักซ์ซึมผ่าน)

ผลการศึกษาฟลักซ์ซึมผ่านตามเวลาของ การซึมผ่านภายในได้ความดันสั่งผ่านเมมเบรนที่ 200 300 และ 400 kPa ของเมมเบรนที่เตรียมได้จากการเติมสารเติมแต่ง PEG หรือ PDXL เพื่อนำเชอริชินกลับคืนจากน้ำทึ้งการลดอกราวรังใหม่ ได้แสดงไว้ในรูปที่ 7-9 จากรูปแสดงอย่างชัดเจนว่า PF ลดลงอย่างช้า ๆ ตามเวลาของ การซึมผ่านภายในได้ความดันสั่งผ่านเมมเบรน และเข้าสู่สถานะคงตัว (Steady state) เมื่อเวลาผ่านไป 2 ชั่วโมง เนื่องจากการขนาดรูพุ่นบนผิวของเมมเบรนลดลงจากการดูดซับทางกายภาพของเชอริชิน ทำให้ผนังของรูพุ่นตืบลงและทึบมากขึ้น (Mulder, 1996; Capar et al., 2008) การเติมสารเติมแต่ง PEG หรือ PDXL ในเมมเบรนที่เตรียมได้ มีผลต่อ PF ของเมมเบรนด้วย พบว่า PSF/NMP/PEG และ PSF/NMP/PDXL มี PF ที่ดีกว่าเมมเบรนที่มีเพียง PSF/NMP เท่านั้น PF ของเมมเบรนที่เตรียมได้มีค่าเพิ่มขึ้น เมื่อเพิ่มความเข้มข้นและหนานักไม่เล็กของสารเติมแต่งทั้งสองชนิด (PEG และ PDXL) และความดันสั่งผ่านเมมเบรน เมื่อเปรียบเทียบการใช้ PEG หรือ PDXL เป็นสารเติมแต่ง พบร่วมกันว่า PF ของเมมเบรนที่ใช้ PDXL เป็นสารเติมแต่งจะสูงกว่า (PSF/NMP/PDXL 10,000, 22.4 $\text{l/m}^2\text{h}$) เมื่อใช้ PEG เป็นสารเติมแต่ง (PSF/NMP/PEG 10,000, 19.5 $\text{l/m}^2\text{h}$) และพบว่า PF จะเพิ่มสูงขึ้นเมื่อเพิ่มความดันสั่งผ่าน

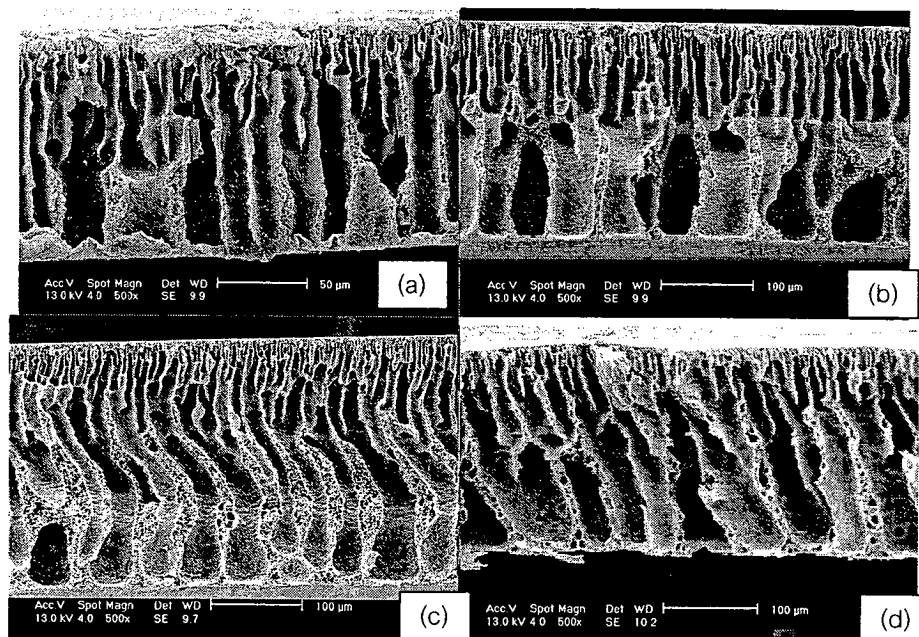
เมมเบรนจาก 200-300 ไปจนถึง 400 kPa ตามลำดับ ผลของ PF ที่ได้สอดคล้องกับผลของ SEM คือ ขนาดของรูพรุนและความพรุนในชั้นบนของเมมเบรนที่เติร์ยมได้จะเพิ่มขึ้นตามความเข้มข้น และน้ำหนักไม่เลกุลของ PEG และ PDXL ที่เพิ่มขึ้น และยังพบว่า ความหนาของชั้นบนของเมมเบรนมีอตามความเข้มข้นและน้ำหนักไม่เลกุลของ PEG และ PDXL เพิ่มขึ้น อย่างไรก็ตาม เป็นที่ยอมรับว่า PF จะลดลงตามความหนาของเมมเบรนที่เพิ่มขึ้น (Jung *et al.*, 2004) ดังนั้น สามารถสรุปได้ว่า PF ของเมมเบรนขึ้นอยู่กับขนาดของรูพรุนและความพรุนมากกว่าความหนาของชั้นบนของ PSF-เมมเบรนที่เติร์ยมได้ นอกจากนี้ได้ทำการตรวจลักษณะสัณฐานวิทยาของเมมเบรนหลังจากการซึมผ่านด้วย Infinite focus microscopy (IFM) ภาพ IFM เนพาะของ PSF (PSF/NMP = 12/88 wt%) and PSF12 (PSF/NMP/PDXL200,000 = 12/83/5 wt% "ได้แสดงดังรูปที่ 10 เพื่อยืนยันว่ามีชั้นของเชอริชินเกะบันผิวเมมเบรนหลังการซึมผ่านตามเวลาของการซึมผ่านภายใต้ความดันสั่งผ่านเมมเบรน

การกักโปรตีน (Protein retention)

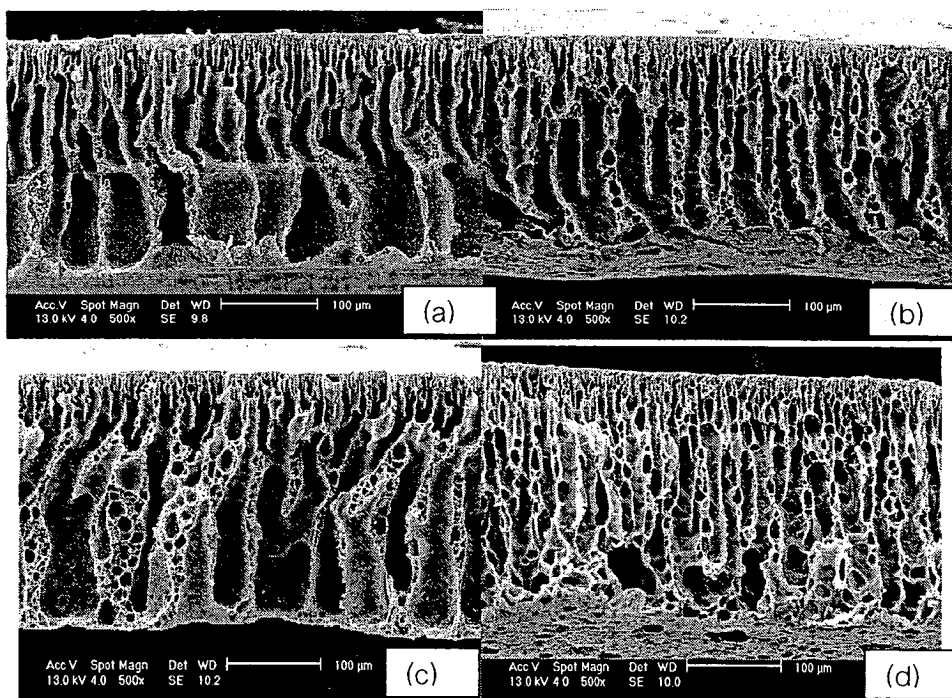
ตารางที่ 3 แสดงผลของความเข้มข้นและเปอร์เซนต์การกักโปรตีนจากการนำเชอริชินกลับคืนจากน้ำลอกการรังไหม และรูปที่ 11 แสดงอิทธิพลของความเข้มข้นและน้ำหนักไม่เลกุลของสารเติมแต่ง PEG และ PDXL ที่มีต่อการกักโปรตีนที่ความดันการส่งผ่านเมมเบรนจาก 200 kPa ถึง 400 kPa พบร่วมกับเมื่อเพิ่มความดันสั่งผ่านเมมเบรนจาก 200 kPa ไป 400 kPa ความเข้มข้นและเปอร์เซนต์การกักโปรตีนมีผลลดลงเล็กน้อย เช่น ที่ความดันสั่งผ่านเมมเบรนจาก 200 kPa ถ้าใช้ความเข้มข้นของสารเติมแต่ง PEG และ PDXL เท่ากันที่ 2 wt% เปอร์เซนต์การกักโปรตีนลดลงจาก 75.4% ใน PSF1 ไปเป็น 60.8% ใน PSF4 และจาก 60.6% ใน PSF5 ไปเป็น 52.4% ใน PSF6 เมื่อเพิ่มน้ำหนักไม่เลกุล ของ PEG และ PDXL จาก 300 ไปเป็น 10,000 Da และ PDXL จาก 10,000 ไปเป็น 200,000 Da ตามลำดับ และเปอร์เซนต์การกักโปรตีนจะลดลงจาก 75.4% ใน PSF1 ไปเป็น 66.4% ใน PSF7 ถ้าเพิ่มความเข้มข้นของสารเติมแต่ง PEG จาก 2 wt% ไปเป็น 5 wt% แม้จะใช้สารเติมแต่ง PEG ที่มีน้ำหนักไม่เลกุลเท่ากัน คือ 300 Da และความดันสั่งผ่านเมมเบรนที่เท่ากันคือ 200 kPa ผลการกักโปรตีนที่ได้สอดคล้องกับ PF (ฟลักซ์ซึมผ่าน) และขนาดของรูพรุนและความพรุนที่เพิ่มขึ้นของชั้นบนของ PSF-เมมเบรน ที่เติร์ยมได้มีเพิ่มความเข้มข้นและน้ำหนักไม่เลกุลของสารเติมแต่ง PEG และ PDXL (จากภาพตัดขวางของ SEM)



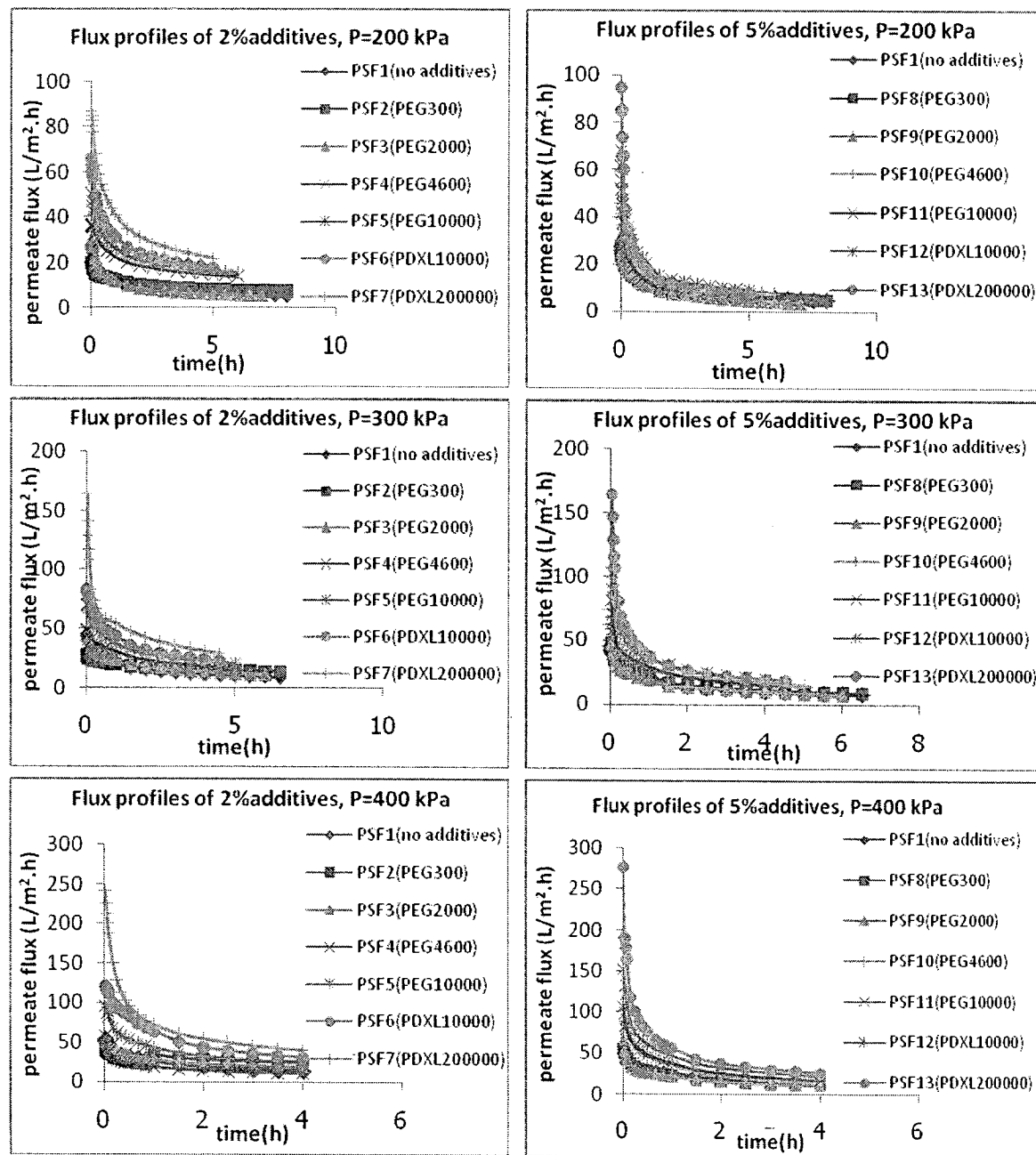
รูปที่ 4 SEM cross-sectional morphologies of asymmetric membranes prepared (x200). (PSF) PSF/NMP = 12/88, (PSF1) PSF/NMP/PEG300-2 = 12/86/2, (PSF2) PSF/NMP/PEG2000-2 = 12/86/2, (PSF3) PSF/NMP/PEG4600-2 = 12/86/2, (PSF4) PSF/NMP/PEG10,000-2 = 12/86/2, (PSF5) PSF/NMP/PDXL10,000-2 = 12/86/2, (PSF6) PSF/NMP/PDXL200,000-2 = 12/86/2, (PSF7) PSF/NMP/PEG300-5 = 12/83/5 and (PSF8) PSF/NMP/PEG2000-5 = 12/83/5 wt%, (PSF9) PSF/NMP/PEG4600-5 = 12/83/5, (PSF10) PSF/NMP/PEG10,000-5 = 12/83/5, (PSF11) PSF/NMP/PDXL10,000-5 = 12/83/5 and (PSF12) PSF/NMP/PDXL200,000-5 = 12/83/5 wt%.



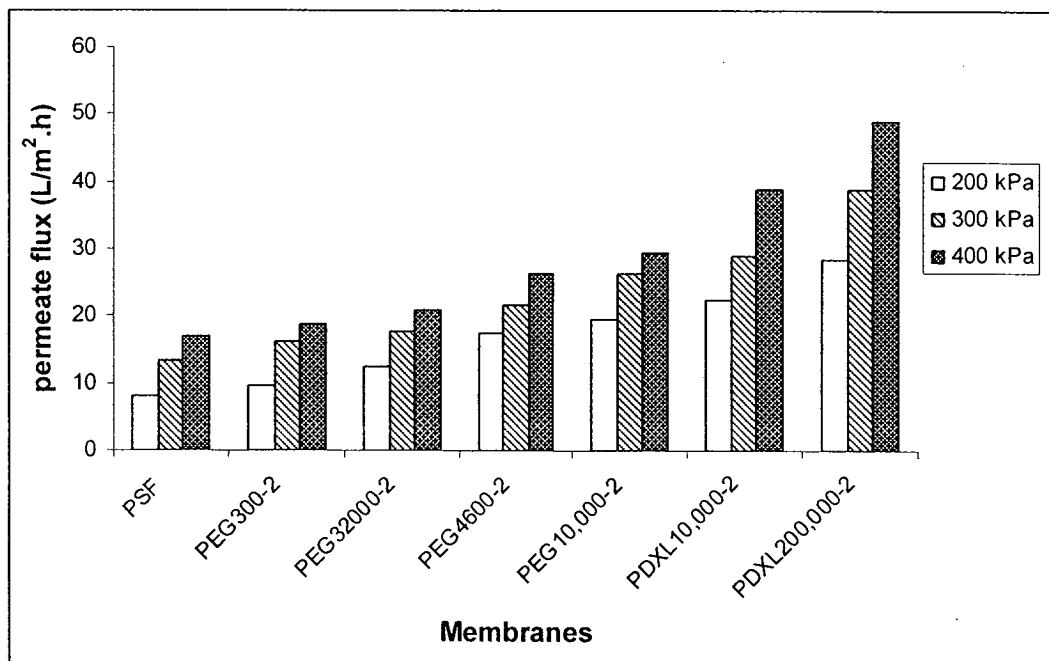
รูปที่ 5 SEM cross-sectional morphologies of asymmetric membranes prepared (x500). (a) PSF/NMP/PDXL10,000-2 = 12/86/2 ที่ อุณหภูมิห้อง, b) PSF/NMP/PDXL10,000-5 = 12/86/5 ที่ อุณหภูมิห้อง (c) PSF/NMP/PDXL10,000-2 = 12/83/2 ที่ 60°C, PSF/NMP/PDXL10,000-5 = 12/83/5 ที่ 60°C.



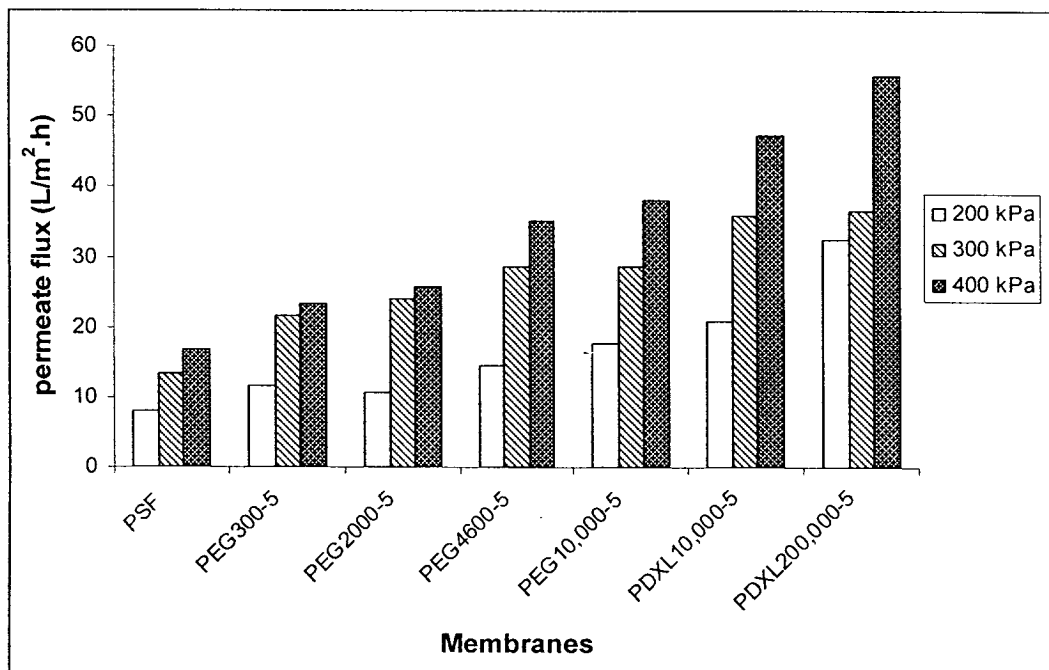
รูปที่ 6 SEM cross-sectional morphologies of asymmetric membranes prepared (x500). (a) PSF/NMP/PDXL200,000-2 = 12/86/2 ที่ อุณหภูมิห้อง, (b) PSF/NMP/PDXL200,000-5 = 12/86/5, ที่ อุณหภูมิห้อง (c) PSF/NMP/PDXL200,000-2 = 12/83/2 ที่ 60°C , (d) PSF/NMP/PDXL200,000-5 = 12/83/5 ที่ 60°C .



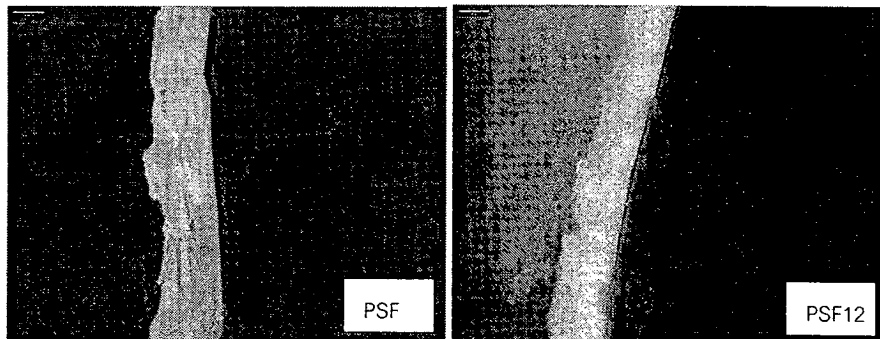
รูปที่ 7 Flux profile during compaction of membranes prepared from 2 wt% and 5 wt% of PEG and PDXL at transmembrane pressure of 200, 300 and 400 kPa.



รูปที่ 8 แสดงความสัมพันธ์ระหว่างผลของการดันส่งผ่านเมมเบรนที่มีต่อฟลักซ์ผ่านของเมมเบรนที่เตรียมจากสารเติมแต่ง PEG และ PDXL ความเข้มข้น 2 wt%



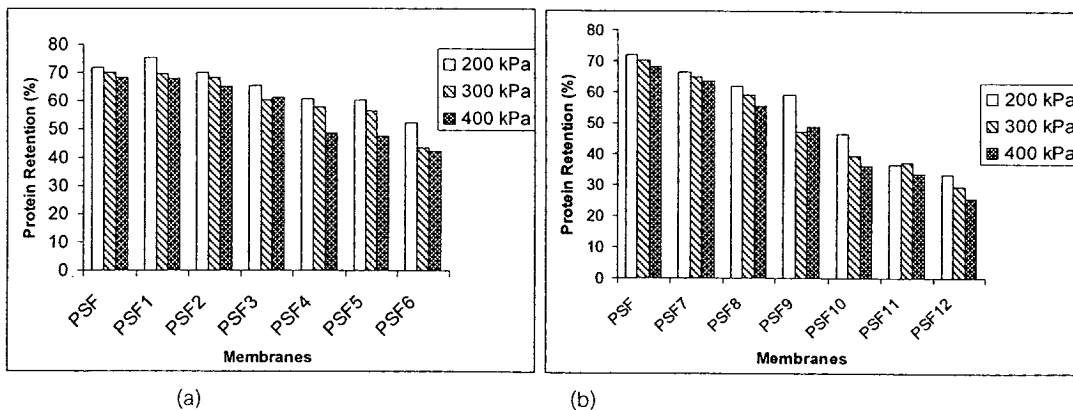
รูปที่ 9 แสดงความสัมพันธ์ระหว่างผลของการดันส่งผ่านเมมเบรนที่มีต่อฟลักซ์ผ่านของเมมเบรนที่เตรียมจากสารเติมแต่ง PEG และ PDXL ความเข้มข้น 5 wt%



รูปที่ 10 IFM cross sectional images of PSF (PSF/NMP = 12/88 wt%) and PSF12 (PSF/NMP/PDXL200,000-5 = 12/83/5 wt%) membranes after filtration.

ตารางที่ 3 ความเข้มข้นของโปรตีนและเปอร์เซนต์การกักโปรตีนจากการนำเชอร์ชินกลับคืนมาจากน้ำลอกการรังให้หมดตามเบบานที่เตรียมได้

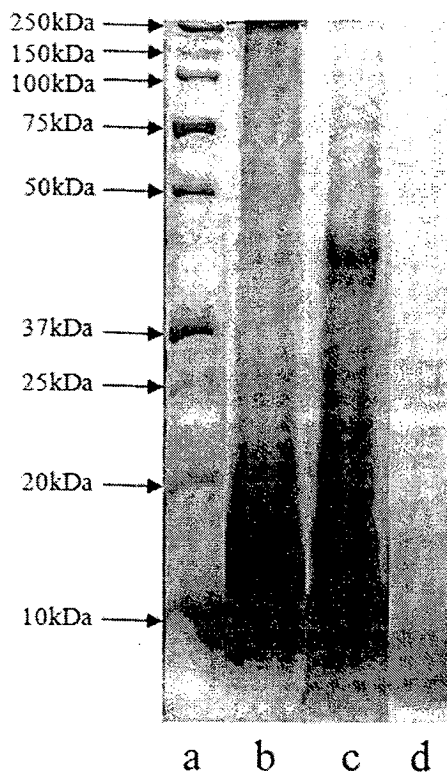
Membrane	Concentration of protein (mg l^{-1}), Protein retention (%)		
	200 kPa	300 kPa	400 kPa
Feed	832000	832000	832000
PSF	598000, 71.9	608000, 73.1	566000, 68.2
PSF1	628000, 75.4	580000, 69.7	564000, 67.8
PSF2	582000, 70.0	568000, 68.3	540000, 64.9
PSF3	546000, 65.6	504000, 60.6	510000, 61.3
PSF4	506000, 60.8	482000, 57.9	406000, 48.8
PSF5	504000, 60.6	472000, 56.7	396000, 47.6
PSF6	436000, 52.4	360000, 43.3	352000, 42.3
PSF7	552000, 66.4	538000, 64.7	528000, 63.5
PSF8	516000, 62.0	492000, 59.1	462000, 55.5
PSF9	492000, 59.1	392000, 47.1	404000, 48.6
PSF10	386000, 46.4	326000, 39.2	300000, 36.1
PSF11	304000, 36.5	308000, 37.0	278000, 33.4
PSF12	276000, 33.2	244000, 29.3	212000, 25.5



รูปที่ 11 ผลของความดันส่งผ่านเมมเบรนต่อการกักโปรตีนของ PSF-เมมเบรนที่เตรียมได้จากการเติมสารเติมแต่ง PEG และ PDXL (a) 2 wt% and (b) 5 wt%

การคัดแยกขนาดตามน้ำหนักโมเลกุลของเซอริซิน (Molecular weight cut-off of sericin, MWCO)

ทำการวิเคราะห์เพื่อคัดแยกขนาดตามน้ำหนักโมเลกุลของเซอริซินจากการนำเซอริซินกลับคืนมาจากน้ำลอกจากการวังไหมก่อนและหลังผ่านเมมเบรนด้วยวิธี SDS-PAGE (Sodium dodecyl sulfate polyacrylamide gel electrophoresis) ได้ผลดังแสดงในตารางที่ 4 และรูปที่ 12 จากผลที่ได้รับให้เห็นว่าการกระจายน้ำหนักโมเลกุลของเซอริซินในน้ำทึบการลอกการวังไหมอยู่ที่ 10 kDa to 250 kDa ซึ่งน้อยกว่าค่าที่พบโดยทั่ว ๆ ไปคือควรอยู่ในช่วงระหว่าง 10 kDa ไปถึงมากกว่า 300 kDa ทั้งนี้เนื่องมาจากเซอริซินเกิดการแตกสลายจากเอนไซม์บромีลีน (Bromelain) ที่ใช้ลอกการวังไหม และ MWCO ของส่วนที่ซึมผ่านเมมเบรน (Permeate) มีค่าเพิ่มขึ้นเปรียบตามขนาดของรูพรุนในชั้นบนของเมมเบรนที่เตรียมได้ คือยิ่งขนาดของรูพรุนเพิ่มใหญ่ขึ้น น้ำหนักโมเลกุลของเซอริซินก็สูงตามไปด้วย นั่นคือ เมมเบรน-PSF ที่เตรียมได้สามารถนำเซอริซินกลับคืนมาจากการลอกการวังไหม โดยสามารถคัดแยกขนาดตามน้ำหนักโมเลกุลของเซอริซินตามความต้องการที่จะนำไปประยุกต์ใช้ เช่นที่ความดันส่งผ่านเมมเบรน 200 kPa PSF1 (PSF/NMP/PEG300-2 = 12/86/2 wt%) สามารถทำให้น้ำทึบการลอกการวังไหมเข้มข้นขึ้นเท่านั้น ขณะที่ PSF6 (PDXL200,000-2) สามารถนำไปแยกเซอริซินที่มีน้ำหนักโมเลกุลมากกว่า 50 kDa ขึ้นไป ออกจากน้ำทึบการลอกการวังไหม และ PSF12 (PDXL200,000-5) สามารถใช้แยกเซอริซินที่มีน้ำหนักโมเลกุลมากกว่า 75 kDa



รูปที่ 12 SDS-PAGE of sericin (a) markers

consisted of synthesis protein from 10 kDa to 250 kDa. (b) silk cocoon degumming wastewater feed (c) and (d) permeate sample from PSF12 and PSF1 at transmembrane pressure 200 kPa, respectively.

ตารางที่ 4 การคัดแยกขนาดตามน้ำหนักโมเลกุลของเซอริซิน (MWCO) ของส่วนที่ซึมผ่าน (Permeate) PSF-เมมเบรน ที่เตรียมได้

Membrane	MWCO (Da) of the permeate		
	200 kPa	300 kPa	400 kPa
PSF	20,000	25,000	20,000
PSF1	10,000	17,000	15,000
PSF2	15,000	25,000	15,000
PSF3	20,000	25,000	20,000
PSF4	37,000	40,000	50,000
PSF5	40,000	40,000	45,000
PSF6	50,000	60,000	75,000
PSF7	20,000	27,000	25,000
PSF8	25,000	30,000	30,000
PSF9	35,000	37,000	40,000
PSF10	45,000	50,000	50,000
PSF11	50,000	75,000	80,000
PSF12	75,000	80,000	100,000